

مقایسه الگوی ژنتیکی ایزولهای اشرشیاکلی عامل پیلونفریت و سیستیت با استفاده از روش

Pulsed Field Gel Electrophoresis

مجتبی انوری تزاد^{*}، شهره فرشاد^آ، مرضیه حسینی^۳

خلاصه

مقدمه: عفونت مجاری ادراری یکی از معمول‌ترین عفونت‌های باکتریایی است که توسط گروهی از باکتری‌ها که به نام اوروپاتوژن اشرشیاکلی شناخته می‌شوند و دارای تنوع ژنتیکی زیادی می‌باشند ایجاد می‌شود. سیستیت و پیلونفریت دو نوع از علایم بالینی است که در بیماران مبتلا به این نوع از عفونت‌ها مشاهده می‌شود. تنوع ژنتیکی بالای ایزولهای اشرشیاکلی مانع تشخیص سوش‌های غالب در ایجاد عفونت مجاری ادراری می‌شود و هنوز این مسئله که آیا تمام ایزولهای اوروپاتوژن قادر به ایجاد هر دو بیماری پیلونفریت و سیستیت هستند یا خیر مشخص نیست. روش‌های مناسب و دقیقی برای تقسیم‌بندی ژنتیکی این ارگانیسم‌ها مورد نیاز است که یکی از بهترین این روش‌ها پالس فیلد (Pulsed Field) می‌باشد که در این مطالعه به منظور بررسی الگوی ژنتیکی ایزولهای عامل عفونت ادراری از آن استفاده شده است.

روش: این بررسی توصیفی - مقطعي بر روی ۹۰ سوش *Escherichia coli* جدا شده از کودکان مبتلا به عفونت‌های ادراری انجام گرفت و الگوهای ژنتیکی به دست آمده برای ۴۲ ایزو له عامل سیستیت و ۴۸ ایزو له عامل پیلونفریت با روش PFGE مورد بررسی قرار گرفتند.

یافته‌ها: با استفاده از روش PFGE کلای ۶۶ الگو به دست آمد که بیشترین درصد ایزو لهها تعداد ۱۳ و ۱۲ باند و کمترین درصد ایزو لهها تعداد ۱۹ و ۸ باند تشکیل دادند. اندازه ژنوم ایزو لهها نیز ۴۱۷۰-۴۱۱۰ kbp بود.

نتیجه گیری: با توجه به نتایج به دست آمده می‌توان گفت که در بعضی موارد ایزو لههای عامل سیستیت و پیلونفریت دارای الگوی مشترک می‌باشند و علایم بالینی متفاوت مربوط به بروز فاکتورهای مختلف است.

واژه‌های کلیدی: اشرشیاکلی، پیلونفریت، سیستیت، پالس فیلد ژل الکتروفورز

۱- کارشناس ارشد میکروب‌شناسی، مرکز تحقیقات میکروب‌شناسی بالینی استاد البرزی، دانشگاه علوم پزشکی شیراز-۲- دانشیار میکروب‌شناسی، مرکز تحقیقات میکروب‌شناسی بالینی استاد البرزی، دانشگاه علوم پزشکی شیراز-۳- کارشناس میکروب‌شناسی، مرکز تحقیقات میکروب‌شناسی بالینی استاد البرزی، دانشگاه علوم پزشکی شیراز
* نویسنده مسؤول، آدرس: شیراز؛ بیمارستان نمازی، مرکز تحقیقات میکروب‌شناسی بالینی استاد البرزی • آدرس پست الکترونیک: manvarinejad@yahoo.com

مقدمه

به‌فرد سویش‌های خاص UPEC دخیل در این تظاهرات مختلف بالینی بیمار را شناسایی نماید. به‌علاوه هنوز مشخص نیست که آیا تمام سویه‌های UPEC قادرند هر دو بیماری پیلونفریت و سیستیت را ایجاد کنند یا برای هر بیماری سویش‌های مشخصی وجود دارد (۴،۷). در دهه اخیر و به‌ویژه طی سال‌های ۲۰۰۳ تا ۲۰۰۷ دانشمندان تلاش‌های زیادی را به‌منظور بدست آوردن ژنوم و عوامل ویرولانس E. coli انجام داده‌اند. با مطالعه این بررسی‌ها می‌توان دریافت که با توجه به تنوع ژنتیکی این ارگانیسم به‌جز تعدادی فاکتور ویرولانس، هنوز ژن ویرولانس جدیدی کشف نشده است و بنابراین درک پایینی از پاتوژن باکتریایی UTI وجود دارد (۱۱-۹). لذا نتایج حاصل از بررسی‌های مولکولی می‌توانند در انتخاب سویش‌ها و مکان‌های ژنی غالب برای ارزیابی اهمیت ژن‌هایی که جدید کشف می‌شوند بسیار کارآمد باشند.

از طرف دیگر روش‌های ژنتیکی مثل PFGE (Pulsed Field Gel Electrophoresis) با قدرت افتراق بالا برای ارتباط بین سویش‌های داخل یک گونه استفاده می‌شود (۱۲،۱۳) به عنوان مثال در یک مطالعه بر روی ۱۵۶ سویش E. coli عامل عفونت ادراری با استفاده از این روش ۱۰-۱۵ باند و با وزن مولکولی ۱۲۰۰-۵۰ kbp به دست آمده است (۲). از این روش در میان روش‌های ژنتیکی به عنوان روش استاندارد طلایی نام برده می‌شود (۱۴-۱۶).

هدف این تحقیق بررسی ژنتیکی انواع ایزوله‌های E. coli جدایشده از موارد عفونت‌های ادراری کودکان مبتلا به پیلونفریت و سیستیت با استفاده از روش PFGE می‌باشد (روشی که هم‌اکنون به علت پیشرفت‌های آن در استاندارد کردن شرایط الکتروفورز بیشتر مورد استفاده قرار می‌گیرد). علاوه بر این به منظور ارائه روش قابل اعتماد برای افتراق سویش‌های جدایشده و این که آیا تمام سویه‌های UPEC قادرند هر دو بیماری پیلونفریت و سیستیت را ایجاد

عفونت‌های مجرای ادراری (Urinary Tract Infection: UTI) که شامل پیلونفریت و سیستیت می‌باشند، از شایع‌ترین عفونت‌های خارج روده‌ای هستند. مهم‌ترین عامل ایجاد کننده UTI در بزرگسالان و کودکان (۸۰-۹۰ درصد) به‌وسیله E. coli سویه UPEC صورت می‌گیرد (۱-۳). تجمع باکتری در قسمت‌های مختلف مجرای ادراری می‌تواند بافت‌های این بخش را درگیر کند و طبقه‌بندی UTI نیز بر اساس مکانی است که درگیر می‌شود. اگر تجمع باکتری در مجرای ادراری تحتانی مثل مثانه اتفاق بیفتد به آن سیستیت می‌گویند که این مورد در تمام سنین به‌خصوص در جنس مؤنث بسیار روی می‌دهد در حالی که مردان کمتر به آن مبتلا می‌شوند. علایم سیستیت درد بالای عانه، فوریت ادرار و سوزش ادرار می‌باشد. اگر باکتری قسمت مجرای فوقانی را درگیر کند به آن پیلونفریت گفته می‌شود. پیلونفریت یا همان عفونت کلیه که نوع حاد آن با علایم درد پهلو، تب، تهوع، استفراغ و ناخوشی همراه است ممکن است نشانه‌های سیستیت را نیز داشته باشد (۴،۵).

میزان شیوع UTI معمولاً به جنس و سن افراد بستگی دارد. در دوران نوزادی و در سال اول زندگی پسر بچه‌ها بیشتر از جنس مخالف به عفونت دستگاه ادراری مبتلا می‌شوند که یکی از دلایل آن نقص مادرزادی و رفلاکس وزیکوکاورترال می‌باشد اما بعد از ۱۲ ماهگی تقریباً عفونت UTI به دختران محدود می‌شود (۵،۶).

در تظاهرات مختلف بیماری مثل پیلونفریت و سیستیت عوامل وابسته به میزبان و ارگانیسم می‌توانند نقش مهمی ایفا کنند (۳،۷). به‌علاوه در مرحله کلونیزاسیون (مهمنترین مرحله بیماری UTI) و همچنین هنگام غلبه بر سیستم دفاعی میزبان عوامل ویرولانس متفاوتی بوده که اجازه تهاجم به دستگاه ادراری را می‌دهند (۸،۹). با وجود این هنوز هیچ‌کدام از این عوامل یا هیچ فرمول خاصی از ترکیب چندتایی آن‌ها شناخته نشده است که بتواند به‌طور منحصر

محیط کشت مولر هیتتون به مدت ۲۴ ساعت در ۳۷ درجه سانتی گراد به طور خالص کشت داده شدند و سپس با لوب از کلنی ها برداشته و با ۱ سی سی سرم فیزیولوژی مخلوط شد به صورتی که شدت جذب نور آن در طول موج ۶۱۰nm بین ۶۰/۷ و ۶۰٪ باشد. سپس مخلوط به مدت ۱۰ دقیقه با دور ۲۵۰ سانتیفوژ شد تا رسوب میکروبی حاصل شود. سپس این رسوب با محلول شناورساز (resuspension) که حاوی ۱۰ میلی مول در لیتر Tris-HCl، pH=۸ و ۱۰۰ میلی مول در لیتر EDTA بود یک بار شستشو و دوباره رسوب میکروبی حاصل از سانتیفوژ با ۱CC بافر شناورساز مخلوط و به خوبی تکان داده شد و به مدت ۳۰ دقیقه در ۵۵ درجه سانتی گراد در بن ماری قرار گرفت.

در همین زمان (Low Melting Agarose) به کمک بافر شناورساز تهیه و تا شفاف شدن کامل آن در ماکروویو جوشانده شد. یک سی سی از آن به لوله های حاوی محلول میکروبی اضافه و به خوبی مخلوط گردید. سپس به درون قالب (mold) انتقال داده شد و به مدت یک ساعت درون یخچال نگهداری گردید تا ژل کاملاً شکل گیرد.

ژل از درون mold با احتیاط خارج و درون ارلن انداخته شد. به هر ارلن ۲۵ میلی لیتر بافر لیزکننده (۵۰ میلی مول در لیتر Tris-HCl، pH=۸، ۵۰ میلی مول در لیتر EDTA و ۱٪ laurylsarcosin) اضافه گردید به صورتی که ژل در آن غوطه ور شود. سپس به هر کدام ۱۲۵ میکرولیتر پروتئیناز K (MBI, Fermentas, Lithuania) اضافه و سپس به مدت ۲۰-۲۵ دقیقه در دمای ۵۵ درجه سانتی گراد روی دستگاه شیکر قرار داده شد.

بعد از ۲۰ ساعت محلول lysis از درون ارلن خارج و سپس ژل درون ارلن ابتدا ۳ بار به وسیله آب مقطر استریل و هر بار به مدت ۳۰ دقیقه و سپس ۲ مرتبه به وسیله بافر شستشو (۱۰ میلی مول در لیتر Tris-HCl، pH=۸ و ۱ میلی مول در لیتر EDTA) استریل و هر بار به مدت ۳۰ دقیقه شستشو

کنند، در این مطالعه از الگوهای ژنتیکی PFGE استفاده شده است.

روش بررسی

جداسازی و تشخیص باکتری

در این مطالعه ایزووله های اشرشیا کلی از نمونه های ادرار کود کان ۱ ماهه تا ۱۴ ساله، مبتلا به عفونت های دستگاه ادراری در بیمارستان مطهری جهرم طی یک دوره یک ساله به روش Mid stream یا کیسه ادرار جمع آوری گردید. تشخیص UTI بر پایه علایم بالینی و نتایج آزمایشگاهی استوار گردید. این نمونه ها پس از جمع آوری به مرکز تحقیقات میکروب شناسی بالینی استاد البرزی انتقال داده شدند و در محیط کشت EMB و Blood Agar کشت داده شده و بعد از ۲۴ ساعت بررسی شدند. در صورت رشد ارگانیسم خالص بیش از ۱۰^۵ کلنی که دال بر عفونت ادراری است، برای تعیین نوع ارگانیسم و تأیید از رنگ آمیزی گرم، تست قدر، تست ایندول و سیترات استفاده شد. از آنجایی که احتمال آلدگی ثانویه در حین جمع آوری نمونه ها وجود دارد سعی شد با هماهنگی پزشک مربوطه و با استفاده از تست های افتراقی این موضوع به حداقل برسد.

بیمارانی در این مطالعه مورد بررسی قرار گرفتند که عفونت های ادراری را از طریق جامعه کسب کرده بودند. به این ترتیب کود کانی که ۴۸ ساعت پس از بستری شدن در بیمارستان یا یک ماه قبل از نمونه گیری سابقه بستری شدن در بیمارستان داشته، هم چنین بیمارانی که در ۱۵ روز قبل از آزمایش آنتی بیوتیک مصرف کرده بودند از مطالعه حذف شدند.

Pulsed Field Gel Electrophoresis

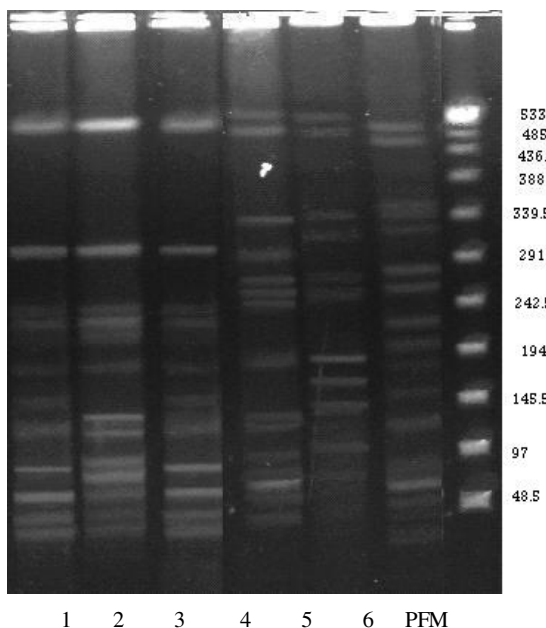
این تست با استفاده از روش Ejrnaes و همکاران با کمی تغییرات انجام گردید (۲). به طور خلاصه ایزووله ها بر روی

نتایج

از میان ۹۰ نمونه به دست آمده ۶۲/۵٪ متعلق به جنس مذکور و بقیه متعلق به جنس مؤنث با میانگین سنی ۲۱/۸±۲۶/۹ ماه بودند. در مجموع ۴۹/۲٪ از بیماران مبتلا به سیستیت و ۵۰/۸٪ بیماران مبتلا به پیلونفریت بودند.

Pulsed Field Gel Electrophoresis

بر اساس PFGE و مشاهده تشابه باند های ژنتیکی در میان ۹۰ ایزو لی *E. coli* ۶۶ الگوی ژنتیکی به دست آمد که از S۱ تا S۶۶ نامگذاری شدند. در این میان ۱۶ الگو وجود داشت که در آن نمونه ها با یکدیگر کاملاً تشابه داشتند. به عنوان مثال در الگوی شماره S۲۳، نمونه های C۱۸، P۱۹، P۸۰، P۶۸ و P۱۳ و یا در الگوی شماره S۴۴ نمونه های C۲۵ و P۳۶ الگوی ژنتیکی یکسانی داشتند.



شکل ۱. الگوی پالس فیلار. ژل الکتروفورزیس نمونه های اشرشیا کلی
کل ژنم ارگانیسم درون حفرات قرار داده شدو سپس طبق روش ذکر شده به وسیله آنزیم XbaI مورد برش قرار گرفته و پس از الکتروفورز باند های مختلف برای هر ایزو لی به دست آمد. نمونه های شماره ۱ و ۳ به ترتیب مربوط به دو نمونه سیستیت و پیلونفریت بوده که کاملاً با یکدیگر مشابه بوده و دارای دودمان (clonality) یکسان می باشند.

ستون PFM: مارکر به قدرت نفکیک 1000bp

داده شد. شیستشو بر روی شیکرانکوباتوردار و در دمای ۵۰ درجه سانتی گراد انجام شد. سپس ژل با احتیاط از درون ارلن خارج و به کمک یک کارد ک به قطعات کوچک (قطعه ۳) تقسیم و یک قطعه از آن به درون تیوب اپندورف استریل انتقال یافت و با توجه به پروتکل کارخانه سازنده با ملح از آنزیم (MBI, Fermentas, Lithuania) XbaI به مدت ۱۸ ساعت در ۳۷ درجه سانتی گراد مجاور گردید. در مرحله بعد با فر تانک (running buffer) pH=۸/۳ Tris base، Boric acid، EDTA شامل (Gene Navigator System, Amersham Bioscience, Sweden) و به درون دستگاه (NA Agarose Amersham BioSciences, Sweden) نظر PFGE منتقل شد. همین طور با استفاده از این با فر ژل مورد نظر (NA Agarose Amersham BioSciences, Sweden) که نمونه ها با یستی در آن الکتروفورز شوند به صورت ۱/۲ درصد ساخته شد و بعد از شکل گیری ژل، نمونه ها به درون حفرات که به وسیله شانه ایجاد شده بودند منتقل و سپس با ۱٪ Low Melting Agar در با فر تانک پوشانده شدند و پس از چند دقیقه نمونه به منظور جداسازی ژنم به درون دستگاه منتقل گردید تا به طور کامل در با فر غوطه ور شوند. در هر تست در یکی از حفرات مارکر مخصوص PFM (Biolabs, New England) بعدی با توجه به وزن ملکولی مارکر اندازه باند های نمونه ها تعیین شد. شرایط انجام آزمایش بدین صورت بود: زمان انجام آزمایش ۳۳ ساعت، درجه حرارت ۱۴ درجه سانتی گراد، زاویه بین میدان های الکتریکی ۱۲۰ درجه، ولتاژ ۶ ولت در هر سانتی متر، ۵ ثانیه زمان initial switch و ۴۰ ثانیه زمان final switch بعد از اتمام زمان نمونه ها با آتیدیوم بروماید رنگ آمیزی شده و سپس به کمک دستگاه Gel logic 2000 (Kodak, USA) و با استفاده از نور UV به کار رفته در آن از نمونه ها عکس برداری گردید. سپس به کمک نرم افزار Photocapt تعداد و اندازه باند های جدا شده هر ایزو لی در مقایسه با مارکر مخصوص PFGE تعیین گردیده و در نتیجه الگوهای ژنتیکی سوچ ها با یکدیگر مقایسه شدند.

جدول ۱. فراوانی تعداد باندهای حاصل از الکتروفورز پالس فیلد ژرل در سوش‌های UPEC جدا شده از کودکان

تعداد سوش‌های <i>E. coli</i> (درصد)	تعداد باند
(۱/۱)۱	۸
(۳/۳)۳	۹
(۵/۵)۵	۱۰
(۱۳/۳)۱۲	۱۱
(۲۳/۳)۲۱	۱۲
(۲۵/۵)۲۳	۱۳
(۸/۸)۸	۱۴
(۶/۱)۶	۱۵
(۷/۷)۷	۱۶
(۳/۳)۳	۱۷
(۱/۱)۱	۱۹

بر اساس الگوهای مشاهده شده الگویی که بیشترین تکرار را داشت الگوی شماره S2 با ۱۲ باند بود که در میان ۵ ایزوله تکرار شده بود. طیف اندازه باندها از ۲ کیلو جفت باز تا ۶۶ کیلو جفت باز و تعداد باندها از ۸ الی ۱۹ باند متغیر بود. فراوان ترین الگوها شامل الگوهای ۱۳ و ۱۲ باند بودند که به ترتیب در ۲۵/۵٪ و ۲۳/۳٪ ایزولهای مشاهده شدند. این در حالی بود که الگوهای ۱۹ و ۸ باندی ۱/۱٪ از کل الگوها را شامل می‌شدند. فراوانی الگوهای مختلف بر اساس تعداد باندها در جدول ۱ نشان داده شده است.

تعداد الگوها نیز به تفکیک عامل بیماری زایی، عبارت از ۳۶ الگو برای نمونه‌های عامل پیلونفریت و ۳۰ الگو برای سیستیت بود. بیشترین و کمترین تعداد و اندازه باند و ژنوم به تفکیک ایزولهای پیلونفریت و سیستیت در جدول شماره ۲ مشخص شده است.

جدول ۲. تنوع ژنتیکی سوش‌های اشرشیاکلی عامل پیلونفریت و سیستیت بر اساس اندازه ژنوم و تعداد و اندازه باندها

در روش الکتروفورز پالس فیلد ژرل

مشخصات ژنتیکی	نمونه‌های پیلونفریت	نمونه‌های سیستیت	مجموع نمونه‌ها	تعداد باند
۸-۱۹	۹-۱۶	۸-۱۹	kbp ۲-۶۶.	اندازه باند
kbp ۲-۶۶.	kbp ۲-۶۶.	kbp ۱۰-۶۷۰	kbp ۱۶۱۰-۴۱۷۰	اندازه ژنوم
kbp ۱۶۱۰-۴۱۷۰	kbp ۱۶۳۰-۳۷۴۰	kbp ۱۶۱۰-۴۱۷۰		

دستگاه ادراری تناسلی، آپاندیس، کیسه صفراء، دستگاه تنفسی و ملتحمه چشم و... وارد شوند می‌توانند به تنها یی یا به کمک سایر باکتری‌ها ایجاد عفونت نمایند (۱۷). در افتراق عفونت مجاری ادراری فوکانی از تحتانی در کودکان عالیم سیستمیک، نشانه‌های بالینی و همین‌طور یافته‌های آزمایشگاهی زیاد کمک کننده نیستند (۶، ۱۸، ۱۹)، بنابراین به منظور ارائه روش قابل اعتماد برای افتراق ایزولهای جداشده و کشف مکان‌های ثانی غالب و اینکه آیا تمام سویه‌های UPEC قادرند هر دو بیماری پیلونفریت و

بحث و نتیجه‌گیری
باکتری اشرشیاکلی فلور طبیعی روده می‌باشد و یکی از گونه‌های متنوع باکتریایی است که تنوع زیاد آن موجب ابهامات زیادی شده است (۷، ۱۰). هنوز مشخص نیست که آیا هر کدام از بیماری‌های عفونت مجاری ادراری توسط ایزولهای خاصی ایجاد می‌شود یا سوش‌های مشابه با منشأ clonality یکسان باعث عالیم بالینی متفاوتی می‌شوند (۴). اکثر سویه‌های اشرشیاکلی تا زمانی که در روده هستند هیچ خطری ندارند ولی اگر در قسمت‌های دیگر بدن نظیر

یکی از کاربردهای پالس‌فیلد تخمین اندازه ژنوم میکروارگانیسم‌ها می‌باشد که با جمع‌کردن باندهای جداسده برای هر ایزوله به دست می‌آید. این نتایج با مطالعات گذشته که در مورد ارگانیسم‌های مختلف صورت گرفته قابل مقایسه است. با به دست آوردن اندازه متفاوت ژنوم سوشهای داخل یک گونه می‌توان به تنوع ژنتیکی آن گونه پی برد (۲۹،۳۰). در این بررسی نیز اندازه ژنوم سوشهای بسیار متفاوت بود که برای سویه‌های عامل پیلونفریت بین ۱۶۱۰ تا ۳۷۴۰ kbp و برای سویه‌های سیستیت ۱۶۳۰ تا ۳۷۴۰ جفت باز متغیر بود و نشان داد که داخل یک گونه سوشهای مختلف و ناهمگونی وجود دارد و *E. coli* از تنوع ژنتیکی بالایی برخوردار می‌باشد.

در تظاهرات مختلف بالینی عفونت‌های مجاری ادراری عوامل وابسته به میزان و ارگانیسم نقش مهمی دارند (۳۷،۳۸). بیشتر سوشهای UPEC چندین فاکتور بیماری‌زا را به طور هم‌زمان بیان می‌کنند. بعضی از این فاکتورهای اصلی ارگانیسم در سوشهای ایجاد کننده این دو نوع بیماری مشترک است اما پراکنده‌گی آنها متفاوت است به عنوان مثال توزیع پراکنده فیبریه P باعث به وجود آمدن عفونت‌های مختلف مجاری ادراری می‌شود (۳۱،۳۲). سوم و کپسول‌ها بیشتر در ارتباط با پیلونفریت می‌باشند (۳۱،۳۳) اما ادھرین‌های Dr adhesions (Dr adhesions) که در کودکان بیشتر در ارتباط با سیستیت می‌باشند (۱). سیستم آئروب‌بacterin بیشتر در میان سوشهای عامل پیلونفریت دیده می‌شود که این احتمالاً به دلیل توانایی بیشتر سوشهای *E. coli* در ایجاد سیستیت به نسبت عفونت‌های تهاجمی مجاری ادراری می‌باشد چرا که UPEC نیاز کمتری به عوامل بیماری‌زا برای به وجود آمدن سیستیت دارد. به طور کلی سوشهای UPEC عامل سیستیت از سوشهای ایجاد کننده پیلونفریت متفاوتند (۱،۳۴).

در سویه‌هایی که در این مطالعه مورد بررسی قرارداده شد الگوی خاصی که در تظاهرات بالینی دخیل باشد دیده

سیستیت را ایجاد کنند، الگوهای ژنتیکی این سوشهای در این مطالعه مورد بررسی قرار گرفتند.

از آنجایی که خصوصیات ژنتیکی تعییرات کمتری نشان می‌دهند (۲۰،۲۱) می‌توان از آنها برای بررسی الگوی ژنتیکی استفاده کرد. از میان این روش‌ها بیشترین و معمول‌ترین آن که برای دسته‌بندی و مطالعه ارتباط بین سوشهای یک گونه در مناطق مختلف کاربرد دارد تکنیک PFGE می‌باشد (۲۲،۲۳). در واقع مقایسه الگوی پالس‌فیلد روش مفیدی برای به دست آوردن ارتباط احتمالی بین ایزوله‌های یک گونه می‌باشد (۲۴).

آنژیم‌های محدود کننده مهم‌ترین عامل در شکستن DNA و ایجاد باند در طول ژل در تکنیک PFGE می‌باشند. این آنژیم‌ها برای هر باکتری اختصاصی است که ما در اینجا از آنژیم *Xba*I استفاده کردیم که توالی نوکلئوتیدی ۵'-CTAGA...۳' ۳-A GATC[†]G...۵'

در ژنوم ایزوله‌های *E. coli* را مورد شناسایی قرار می‌دهد (۲۵-۲۷) و یکی از معمول‌ترین آنژیم‌هایی است که در مطالعات سوشهای اشرشیا کلی به کار برده می‌شود (۲۴). آنژیم فوق در این طرح به طور موفقیت‌آمیزی در افتراء ایزوله‌های (UPEC) و تولید باندهایی با وضوح بسیار عالی استفاده شد. تعداد بخش‌های DNA که در این مطالعه به‌وسیله این آنژیم ایجاد شد برای سویه‌های پیلونفریت بین ۸ تا ۱۹ باند و برای سویه‌های عامل سیستیت بین ۹ الی ۱۶ تکه بود. وزن مولکولی باندها نیز بسیار متنوع بود که برای سوشهای عامل هر بیماری در جدول شماره ۲ مشخص شده است. با توجه به این که نمونه‌ها در مدت زمان یک سال و در یک جامعه از مناطق مختلف جمع آوری شده بودند این نتایج قابل پیش‌بینی بود. در بررسی دیگری با استفاده از روش PFGE روی اورپاتوژن‌ها ۲۴-۱۹ باند و با وزن مولکولی ۳۰-۵۰ kbp به دست آمده است (۲۸).

سوش‌های یک گونه به روش PFGE به دست آمده (۳۵-۳۷) نتایج مطالعه حاضر زیاد تعجب آور نیست. در واقع سوш‌های یکسان با فاکتورهای ویرولانس مشابه ممکن است در مناطق جغرافیای مختلف پراکندگی متفاوتی داشته باشد که این موضوع نیز باعث به وجود آمدن الگوهای متفاوت (باندهای متفاوت در تعداد و اندازه) از سوш‌های *E. coli* در مناطق مختلف می‌شود، که این تفاوت در تعداد و اندازه باندها و ژنوم با توجه به علایم بالینی عفونت ادراری در شهر جهرم در جدول شماره ۲ بیان شده است. علاوه بر اینکه مدت زمان و مکان نمونه‌گیری می‌تواند باعث به وجود آمدن تنوع الگویی دار باشد، این مطالعه بسود، اما دلایل دیگری از قبیل بازاریابی توالی‌ها، حذف یا اضافه شدن DNA و یا تعویض بازها نیز می‌تواند باعث تنوع الگوها شود که برای بررسی آزمایشات بیشتری مورد نیاز است.

با توجه به بررسی مطالعات گذشته، این اولین مطالعه برای بررسی شیوع UTI در کودکان یک منطقه در ایران است که در آن برای دسته‌بندی و چگونگی ارتباط ژنتیکی بین سوш‌های عامل پیلونفریت و سیستیت در کودکان از روش PFGE استفاده شد. کشف الگوهای ژنتیکی در سوш‌های UPEC و پراکندگی آنها در شناخت مکان‌های ثُنی غالب باعث آنالیز بیشتر این سوش‌ها و دریافت این مطلب که چگونه تفاوت ژنتیکی باعث ایجاد بیماری‌های مختلف می‌شود، خواهد شد. تنوع ژنتیکی بسیار بالای *E. coli* مانع تشخیص الگوی خاص در ایجاد بیماری‌های سیستیت و پیلونفریت و همین‌طور ارتباط بین سوش‌های ایجاد UTI در کودکان و فرم بالینی عفونت شد.

در پایان نیز بایستی یادآور شد با وجود اینکه از روش PFGE به عنوان روش استاندارد طلایی در مطالعات اپیدمیولوژیک نام برده می‌شود اما به تنها بی ااستفاده از این روش نمی‌توان شباهت کامل دو ایزوله را اثبات کرد. به همین دلیل و نیز به علت اهمیت موضوع پیشنهاد می‌شود

نشد، اما تعدادی از سویه‌ها با الگوی ژنتیکی کاملاً یکسان (به عنوان مثال ۱۱ و ۲۸) هم در سیستیت و هم در پیلونفریت نقش داشتند که نشان می‌دهد از یک کلون به وجود آمده‌اند، که این ممکن است به دلیل مشترک بودن فاکتورهای بیماری‌زا در این دو نوع بیماری باشد و تفاوت نه چندان زیاد تعداد ژن‌های عوامل بیماری‌زا باعث به وجود آمدن الگوهای مشابه در PFGE می‌شود. دلیل دیگری که می‌توان عنوان کرد مربوط به بیان ژن‌های کدکننده پلی می‌باشد که در صورت روش‌بودن این ژن، باکتری به صورت بالارونده در مجاری ادراری حرکت کرده و باعث عفونت کلیه و ایجاد پیلونفریت می‌شود و در صورت خاموش بودن باعث ایجاد عفونت در مثانه می‌شود، در نتیجه سویه‌ها با الگوی ژنتیکی یکسان باعث ایجاد بیماری‌های متفاوت می‌شوند. در بررسی‌های گذشته Rasko و همکاران نشان دادند که ایزوله‌های پیلونفریت دارای ژن‌های مخصوصی هستند که فقط باعث ایجاد عفونت کلیه می‌شوند، بدین معنی که سوш‌های پیلونفریت و سیستیت از لحاظ ژنتیکی با یکدیگر متفاوتند و این تفاوت ژنتیکی فاکتورهای است که باعث ایجاد بیماری‌های مختلف می‌شود و در روش‌های ملکولی مثل PFGE نیز باعث به وجود آمدن الگوهای متفاوتی می‌شود (۴).

در این مطالعه و با استفاده از این روش در مجموع ۶۶ الگو (۳۶ الگو برای نمونه‌های عامل پیلونفریت و ۳۰ الگو برای سیستیت) به دست آمد. همان‌گونه که در جدول شماره ۱ عنوان شده است بیشترین درصد سوш‌های با تعداد ۱۳ و ۱۲ باند به ترتیب $25/2\%$ و $23/3\%$ و کمترین درصد سوш‌ها با تعداد ۱۹ و ۸ باند بودند که $1/1\%$ از نمونه‌ها را تشکیل دادند و بیشترین الگویی که در میان نمونه‌ها تکرار شد الگوی شماره ۲ با ۱۲ باند در میان ۵ سوш بود. الگوهای به دست آمده در این مطالعه نشان‌دهنده تنوع ژنتیکی بسیار بالای *E. coli* در این منطقه می‌باشد. از آنجایی که با توجه به مطالعات گذشته که الگوهای متفاوتی از

سپاسگزاری

این طرح در قالب طرح تحقیقاتی شماره ۸۴-۲۲ در مرکز تحقیقات میکروب‌شناسی بالینی استاد البرزی، بیمارستان نمازی شیراز انجام گرفته است. در پایان لازم است از همکاری صمیمانه کارکنان این مرکز کمال تشکر و قدردانی را نماییم.

پژوهش‌های مرتبط در این زمینه به صورت وسیع انجام گرفته تا شباخت کامل و قطعی ایزوله‌ها با روش‌های ملکولی دیگر به اثبات رسانده شود و ویژگی‌های باکتری‌های مقاوم، اپیدمیولوژی و ارتباط آن با چگونگی مصرف کلیه آنتی‌بیوتیک‌های رایج بررسی گردد.

Comparison of Genetic Patterns of *E. coli* Strains Isolated from Patients with Cystitis and Pyelonephritis, Using Pulsed Field Gel Electrophoresis

Anvarinejad M., M.Sc.,¹ Farshad Sh., Ph.D.,² Hoseini M., B. Sc.¹

1. Microbiologist, Professor Alborzi Clinical Microbiology Research Center, Shiraz University of Medical Sciences, Shiraz, Iran

2. Associate Professor of Microbiology, Professor Alborzi Clinical Microbiology Research Center, Shiraz University of Medical Sciences, Shiraz, Iran

* Corresponding author; e-mail: manvarinejad@yahoo.com

(Received: 14 Nov. 2009 Accepted: 7 Nov. 2010)

Abstract

Background & Aims: Urinary tract infection (UTI) is one of the most frequently acquired bacterial infections caused by a large genetically heterogeneous group of *Escherichia coli* which are called uropathogenic *E. coli* (UPEC). Cystitis and pyelonephritis are two most common symptoms seen in patients with UTI. The genetic diversity of this organism has hampered the identification of UTI strains and it is unclear whether all UPEC isolates are capable of causing both cystitis and pyelonephritis. Therefore, Careful selection of appropriate genotyping methods is mandatory. The most popular method is Pulsed Field Gel Electrophoresis (PFGE) that is used in the present study to evaluate the genetic patterns of UPEC.

Methods: In this cross-sectional study a total of 90 *E. coli* strains consisting of 48 isolates causing pyelonephritis and 42 isolates causing cystitis in children were analyzed by PFGE and their corresponding patterns were compared.

Results: Sixty six PFGE profiles were obtained from the genome of *E. coli* strains by this genotyping method. Most strains exhibited twelve and thirteen bands and the patterns with eight or nineteen bands had the lowest rate. Genome size of strains was between 1610-4170 kbp.

Conclusion: According to these results, it can be suggested that in some cases the strains causing pyelonephritis or cystitis have common patterns and different clinical symptoms could be attributed to different gene factors.

Keywords: *Escherichia coli*, Pyelonephritis, Cystitis, Pulsed Field Gel Electrophoresis

Journal of Kerman University of Medical Sciences, 2011; 18(3): 207-217

References

1. Johnson DE, Lockatell CV, Russell RG, Hebel JR, Island MD, Stapleton A, et al. Comparison of *Escherichia coli* strains recovered from human cystitis and pyelonephritis infections in transurethrally challenged mice. *Infect Immun* 1998; 66(7): 3059-65.
2. Ejrnaes K, Sandvang D, Lundgren B, Ferry S, Holm S, Monsen T, et al. Pulsed field gel electrophoresis typing of *escherichia coli* strains from samples collected before and after pivmecillinam or placebo treatment of uncomplicated community-acquired urinary tract infection in women. *J Clin Microbiol* 2006; 44(5): 1776-81.
3. Houdouin V, Bonacorsi S, Mahjoub-Messai F, Mariani-Kurkdjian P, Bidet P, Sebag G, et al. Phylogenetic groups and virulence factors of *Escherichia coli* strains causing pyelonephritis in children with and without urinary tract abnormalities. *Clinical Microbiology and Infection* 2007; 13(7): 740-2.
4. Rasko DA, Phillips JA, Li X, Mobley HLT. Identification of DNA sequences from a second pathogenicity island of uropathogenic *Escherichia coli* CFT 073: probes specific for uropathogenic populations. *J Infect Dis* 2001; 184: 1041-9.
5. Sussman M. Urinary tract infection: A clinical overview. In: Sussman M (editor), Molecular medical microbiology. Vol 2, United States of America, Academic Press 2001; p 1510.
6. Overturf GD. Urinary tract infection In: Jenson HB, Baltimore RS (editors), Pediatric infection disease. 2nd ed., USA, Saunders Company, 2002; p 983.
7. Marrs CF, Zhang L, Faxman B. *Escherichia coli* mediated urinary tract infections: are there distinct uropathogenic *E. coli* pathotypes. *FEMS Microbiol Lett* 2005; 252(2): 183-90.
8. Ishitoya S, Yamamoto S, Kanamaru S, Kurazono H, Habuchi T, Ogawa O, Terai A. Distribution of afaE adhesins in *Escherichia coli* isolated from Japanese patients with urinary tract infection. *J Urol* 2003; 169(5): 1758-61.
9. Chen SL, Hung CS, Xu J, Reigstad CS, Magrini V, Sabo A, et al. Identification of genes subject to positive selection in uropathogenic strains of *Escherichia coli*: a comparative genomics approach. *PNAS* 2006; 103(15): 5977-82.
10. Zhang L, Foxman B, Manning SD, Tallman P, Marrs CF. Molecular epidemiologic approaches to urinary tract infection gene discovery in uropathogenic *Escherichia coli*. *Infect Immun* 2000; 68(4): 2009-15.
11. Bauer AP, Ludwig W, Schleifer KH. A novel DNA microarray design for accurate and straightforward identification of *Escherichia coli* safety and laboratory strains. *Syst Appl Microbiol* 2008; 31(1): 50-61.
12. Arbeit RD. Laboratory procedures for the epidemiologic analysis of microorganisms In: Murray PR, Baron EJ, Pfaffer MA, et al (editors), Manual of clinical microbiology, 7th ed., Washington, ASM press, 1999; p127.
13. Rudolph KM, Parkinson AJ, Roberts MC. Molecular analysis by pulsed field gel electrophoresis and antibiogram of streptococcus pneumoniae serotype 6B isolates from selected areas within the United States. *J Clin Microbiol* 1998; 36(9): 2703-7.
14. Fitzgerald C, Helsel LO, Nicholsen MA, Olsen SJ, Swerdlow DL, Flahart R, et al. Evaluation of methods for subtyping

- campylobacter jejuni during an outbreak involving a food handler. *J Clin Microbiol* 2001; 39(7): 2386-90.
15. Gerner Smidt P, Kincaid J, Kubota K, Hise K, Hunter SB, Falr MA, et al. Molecular surveillance of shiga toxicigenic Escherichia coli O157 by Pulse Net USA. *J Food Port* 2005; 68(9): 1926-31.
 16. Healy M, Huong J, Bittner T, Lising M, Frye S, Reza S, et al. Microbial DNA typing by automated repetitive -sequence -based PCR. *J Clin Microbiol* 2005; 43(1): 199-207.
 17. Ebrahimzadeh MA, Mahdavee MR, Vahedi M. Antibiotic resistance in E. coli isolated from urine: A2-years study isolated from patient with urinary tract infections in Iran. *J Cell Tissue Res* 2005; 5(2): 445-8.
 18. Hoberman A, Charron M, Hickey RW, Baskin M, Kearney DH, Wald ER. Imaging studies after a first febrile urinary tract infection in young children. *N Eng J Med* 2003; 348(3): 195-202.
 19. Mohkam M, Karimi A, Karimi H, Sharifian M, Armin S, Dalirani R, Abdollah Gorgi F. Urinary Interleukin-8 in acute pyelonephritis of children. *Iranian J Kidney Dis* 2008; 2(4): 193-6.
 20. Foxman B, Riley L. Molecular epidemiology: focus on infection. *Am J Epidemiol* 2001; 153(12): 1135-41.
 21. Farjadian S, Kaviani MJ, Ghaderi A. Molecular analysis of Pseudomonas aeruginosa strains isolated from hospitalized patients in Shiraz. *Iran J Med Sci* 1996; 21(3&4): 118.
 22. Alfizah H, Nordiah AJ, Rozaidi WS. Using pulsed field gel electrophoresis in the molecular investigation of an outbreak of *Serratia marcescens* infection in an intensive care unit. *Singapore Med J* 2004; 45(5): 214-8.
 23. Gautom RK. Rapid Pulsed -field gel electrophoresis protocol for typing of Escherichia coli O157:H7 and other gram-negative organisms in 1 day. *J Clin Microbiol* 1997; 35(11): 2977-80.
 24. Watabe M, Hogg GM, Millar BC, Crothers L, Rooney PJ, Loughrey A, et al. Epidemiological study of E. coli O157: H7 isolated in northern Ireland using pulse field gel electrophoresis. *Ulster Med J* 2008; 77(3): 168-74.
 25. Basim E, Basim H. Pulsed field gel electrophoresis technique and its use in molecular biology. *Turk J Biol* 2001; 25: 405-18.
 26. Chu G. Pulsed field gel electrophoresis: theory and practice. In: Birren B, Lai E (editors) Methods: A companion to methods in enzymology 1990; 1(2): 129-42, San Diego, Academic Press.
 27. Goering R. Molecular epidemiology of nosocomial infection analysis of chromosomal restriction fragments pattern by PFGE. *Infect Control Hosp Epidemiol* 1993; 14: 595-600.
 28. Kawamori F, Hiroi M, Harada T, Ohata K, Sugiyama K, Masuda T, et al. Molecular typing of Japanese Escherichia coli O157:H7 isolates from clinical specimens by multilocus variable number tandem repeat analysis and PFGE. *J Med Microbiol* 2008; 57: 58-63.
 29. Lin WJ, Johnson EA. Genome analysis of Clostridium botulinum type A by PFGE. *Appl Environ Microbiol* 1995; 61(12): 4441-7.
 30. Bautsch W, Grothues D, Tummler B. Genome fingerprinting of Pseudomonas

- aeruginosa by two-dimensional field inversion gel electrophoresis. *FEMS Microbiol lett* 1988; 52(3): 255-8.
31. Yamamoto S. Molecular epidemiology of uropathogenic *Escherichia coli*. *J Infect chemother* 2007; 13(2): 68-73.
 32. Blackwood RA, Rode CK, Pierson CL, Bloch CA. PFGE genomic fingerprinting of hospital *Escherichia coli* bacteraemia isolates. *J Med Microbiol* 1997; 46: 506-10.
 33. Tiba MR, Yano T, Leite DS. Genotypic characterization of virulence factors in *Escherichia coli* strains from patients with cystitis. *Rev Inst Med Trop Sao Paulo* 2008; 50(5): 255-60.
 34. Ruiz J, Simon K, Horcajada JP, Velasco M, Barranco M, Roig G, et al. Differences in virulence factors among clinical isolates of *Escherichia coli* causing cystitis and pyelonephritis in women and prostatitis in men. *J Clin Micobiol* 2002; 40(12): 4445-6.
 35. Li Q, Sherwood JS, Logue CM. Characterization of antimicrobial resistant *Escherichia coli* isolated from processed bison carcasses. *J Appl Microbiol* 2007; 103(6): 2361-9.
 36. Bannerman TL, Honcock GA, Tenover FC, Miller JM. Pulse Field Gel Electrophoresis as a replacement for bacteriophage typing of *staphylococcus aureus*. *J Clinic Microbiol* 1995; 33(3): 551-5.
 37. Nikbin VS, Abdi-Ali A, Feizabadi MM, Gharavi S. Pulsed Field Gel Electrophoresis and plasmid profile of *Pseudomonas aeruginosa* at two hospitals in Tehran, Iran. *Iranian J Med Res* 2007; 126(2): 146-51.